

ПОЛИХРОМАТИЧЕСКАЯ РЕАЛИЗАЦИЯ ОПЕРАЦИИ ЦИФРОВОГО УМНОЖЕНИЯ

Г. Г. Воееводкин, Е. М. Дианов, А. А. Кузнецов, С. М. Нефедов

Возможность параллельной обработки двумерных массивов, данных в оптике, позволяет эффективно выполнять векторно-матричные операции линейной алгебры.

Точность вычислений аналоговых оптоэлектронных процессоров определяется их динамическим диапазоном (зависящим от применяемых источников излучения, фотоприемника и модулятора) и обычно ограничивается типичным значением 1/256 при аналоговой обработке сигналов, соответствующей 8 разрядам; такая точность часто не соответствует требованиям решаемой задачи. Несмотря на это, было предложено использовать операцию аналоговой

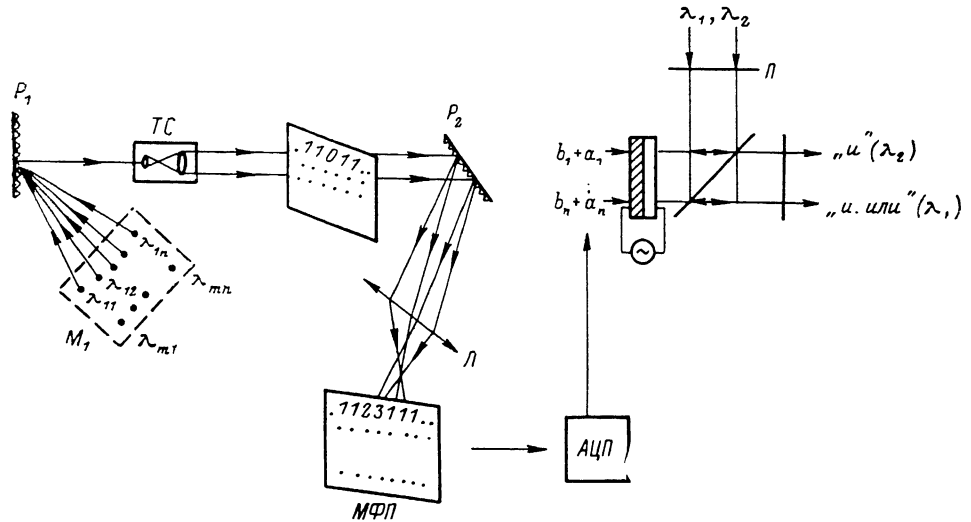


Рис. 1. Оптическая схема полихроматического умножителя.

M_1 — линейки (матрицы) излучателей, P_1, P_2 — дифракционные решетки, Т. С — телескопическая система, T_1 — входной транспарант, L — линзы, MFP — матрица фотоприемников, P — поляризатор, A — анализатор.

свертки для выполнения одной из наиболее трудоемких операций цифровых процессоров — операции умножения [1].

Операцию цифрового перемножения на основе свертки можно показать на примере перемножения двух чисел, записанных в двоичной системе (1101×1011). Результат этого перемножения соответствует выполнению операции свертки над последовательностью чисел (1101)*(1011)=(1113111). Этот результат, записанный в смешанной форме, в дальнейшем преобразуется в двоичный. Преимущества метода таковы: увеличение точности вычислений, которое дает возможность работать с большими числами (действительно, при перемножении двух N -разрядных чисел требуется различие только N уровней сигнала); повышение быстродействия системы (для выполнения операции умножения обычным способом требуется $N-1$ операция сложения, результат получается за $\lceil \log_2(N) \rceil$ шагов, а в данном случае после аналого-цифрового преобразования смешанного представления в двоичную форму достаточно $\lceil \log_2(N+1) \rceil - 1$ операции сложения за $\lceil \log_2 \log_2(N+1) \rceil$ шагов, что для $N=32$ дает соответственно 31 и 5 операций сложения за 5 и 3 шага; здесь $[A]$ наименьшее целое число, большее A).

На основе операции аналоговой свертки были предложены различные схемные реализации оптических процессоров [2-6]. Так, описанный в [8] акустооптический процессор способен производить умножение матрицы на матрицу с точностью 32-го разряда и скоростью до 10^9 операций умножения (сложения) в секунду.

В нашей работе предлагается для выполнения операции аналоговой свертки использовать полихроматический источник света. В работах [6, 7] описаны оптические 7- и 20-канальные

системы, работающие со спектральным уплотнением на полупроводниковых лазерах с эквивалентно расположеными длинами волн их излучения. При использовании N таких лазеров возможно оптическое цифровое перемножение как минимум $N \times N$ разрядных чисел.

Оптическая схема выполнения операции свертки изображена на рис. 1. Ввод информации осуществляется модуляцией излучения линейки лазеров (вкл/выкл) согласно двоичному представлению первого сомножителя. После первой дифракционной решетки излучение всех лазеров сводится в один луч и расширяется телескопической системой, а затем спектрально закодированный пучок света модулируется транспарантом T_1 . Линза L после второй дифракционной решетки строит изображение транспаранта в плоскости матрицы фотоприемников. При соответствующей дисперсии решетки изображения транспаранта в каждом цвете будут сдвинуты в плоскости фотоприемника на величину шага в записи матрицы внешних данных на транспаранте. Таким образом, суммарное распределение интенсивности в каждой строке

матрицы фотоприемника будет соответствовать свертке входного сигнала с каждой строкой матрицы данных. В результате в плоскости фотоприемника будет представлен результат свертки первого сомножителя с числами, записанными на каждой строке транспаранта.

В качестве устройства ввода матрицы данных (вместо транспаранта T_1) возможно использование транспаранта на основе жидкокристаллических матриц, работающего на управлении оптической активностью ячейки электрическим полем (твист-эффект). Такой же транспарант дает возможность осуществлять модуляцию любого лазера независимо от длины волны его излучения.

На рис. 2 представлен результат перемножения чисел 138×21 (10001010×10101) с использованием трех источников света (для отображения трех единиц в бинарной записи числа 21). Число 138 было представлено одной из строк бинарного слайда. Регистрация осуществлялась на ПЗС линейку 1200-ЦЛ2.

Альтернативным вариантом выполнения операции аналоговой свертки является возможность использования линейки или матрицы «одноцветных» лазеров, размещенных в фокальной плоскости коллимирующей линзы, в результате чего пучок света от каждого лазера освещает входной транспарант под разными углами. Тогда в фокальной плоскости второй линзы Фурье-образы входного транспаранта будут пространственного разнесены. Поместив сюда растр из клиньев с различными углами (или соответствующую голограмму), можно добиться того, что в результате различной фазовой модуляции в фокальной плоскости каждого Фурье-образа изображения, построенные третьей линзой, будут смешены относительно друг друга на шаг в записи чисел на транспаранте. Ввиду монохроматизма всех лазеров возможно использование более отработанного транспаранта на основе структуры МДП-ЖК, работающего на S-эффекте. Понятно, что результат будет аналогичен приведенному выше.

Преобразование смешанного представления результата цифрового перемножения в бинарную форму возможно как чисто электронными устройствами, так и оптоэлектронными. В качестве аналого-цифрового преобразователя возможно использование электрооптического преобразователя на основе матрицы интерферометров. Однако в работе [5] предложен АЦП на основе дефлектора, работающего с субнаносекундовыми скоростями и низким управляющим напряжением. Приложенное к дефлектору напряжение отклоняет считающий луч на ту или иную строку транспаранта с записанным на нем двоичным кодом, и, таким образом, распределение интенсивности света за транспарантом соответствует бинарной записи числа (напряжения, поданного на дефлектор). Основное преимущество данного АЦП состоит в использовании только одного активного элемента и возможности применять различные коды, видоизменяя маску.

После аналого-цифрового преобразования смешанного представления результата перемножения необходимо выполнить $[\log_2(N+1)] - 1$ операций сложения. В оптике непросто осуществить операцию сложения двух бинарных чисел, что связано с трудностью осуществления переноса из младшего разряда в старший; при неблагоприятных условиях эти переносы

могут распространяться по всей длине бинарного числа. Выполнение этой операции в системе счисления в остаточных классах не требует осуществления переноса, но возникают сложности с обратным переводом числа в двоичную или десятичную форму.

В работе [8] рассматриваются возможности реализации полного сумматора на основе оптически управляемых жидкокристаллических модуляторов. В нашей работе для выполнения операции сложения предлагается применить тот же модулятор, но для считывания использовать источник света с двумя длинами волн (рис. 1). Принцип работы модулятора, работающего на S -эффекте, основан на переориентации анизотропных молекул в слое ЖК при приложении напряжения, причем потенциальный рельеф может быть создан оптическим путем. Интенсивность света, прошедшего модулятор, помещенный между скрещенными поляризаторами, зависит как квадрат синуса от отношения $\Delta n(V)/\lambda$, где $\Delta n(V)$ — разность показателей преломления для обыкновенного и необыкновенного лучей (зависящая от напряжения на ЖК, которое в свою очередь зависит от освещенности фоточувствительного слоя модулятора). При создании на фотослое модулятора трех градаций освещенности 2, 1 и 0 (рис. 3, a) возможно получение распределения интенсивности после анализатора 010 для λ_1 и 100 для λ_2 (что прямо следует из работы [9], где описано псевдоокрашивание с помощью такого модулятора черно-белого изображения на слайде). Это дает ключ для реализации оптического суммирования двух чисел, записанных в двоичном коде, с оптической реализацией переноса из младшего разряда в старший. Действительно, при сложении чисел 1011 и 1010 распределение интенсивности на фотополупроводнике транспаранта будет 2021, что дает при считывании светом с длиной волны λ_1 001 и соответствует выполнению логической функции «исключающее или»; при считывании с λ_2 результат будет 1010, что соответствует функции «и». Результат считывания светом с длиной волны λ_2 (перенос) должен быть суммирован, со сдвигом влево на один шаг и с результатом считывания с λ_1 . Такое суммирование со сдвигом может быть выполнено с приме-

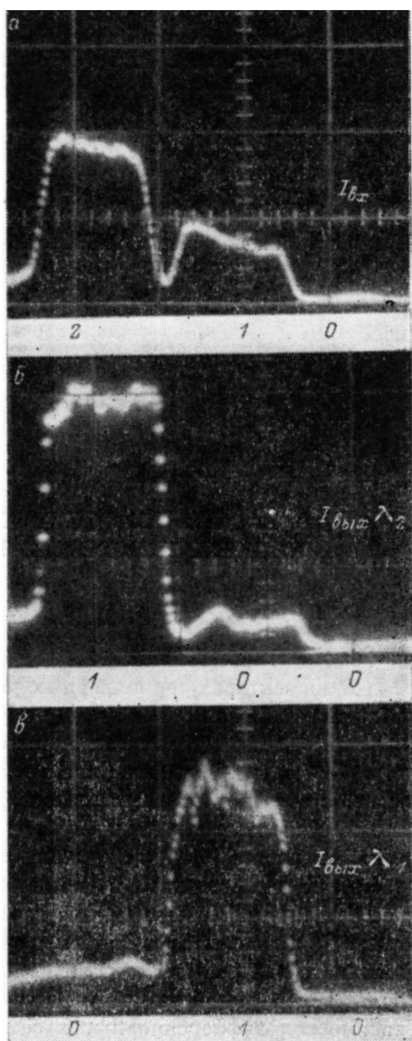


Рис. 3. Оптическая реализация полного сумматора.

a — распределение интенсивности на фотослое транспаранта $a_{yx}=I(2, 1, 0)$; b — результат считывания светом с длиной волны λ_1 (логическая функция «и») $I_{yx1}=I(1, 0, 0)$; c — результат считывания светом с длиной волны λ_2 (логическая функция «и. или») $I_{yx2}=I(0, 1, 0)$.

нением дихроичного зеркала или диспергирующего элемента. Это даст на выходе распределение интенсивности 10101. При суммировании пары картинок с λ_1 и λ_2 возможно получение интенсивности уровня 2, и тогда для осуществления дальнейшего переноса необходимо последовательное включение нескольких транспарантов.

В качестве примера оценим время на выполнение операции перемножения 16-разрядных бинарных чисел такой системой. Скорость выполнения элементарной операции определяется временем оптического отклика транспаранта T . Время на выполнение одного шага суммирования (в силу его последовательного характера из-за переноса) будет $\sim 30 T$. Поскольку конечный результат получается за 3 шага, то общее время выполнения операции умножения будет порядка $90 T$. Для транспаранта с количеством независимых элементов 1000×1000 и $T = 10$ мс эквивалентное время на выполнение одной операции умножения составит ~ 100 мкс. Дальнейшее увеличение быстродействия в таких системах связано с созданием более быстрых модуляторов.

Предложенная схема оптического цифрового перемножителя с использованием источников света с различными длинами волн позволяет простым образом реализовать умножение на основе операции аналоговой свертки. При считывании данных с жидкокристаллического транспаранта бихроматическим излучением возможно одновременное выполнение двух логических операций, необходимых для выполнения операции суммирования с переносом.

Литература

- [1] Whitehouse H. J., Speiser J. M. // Aspects of Signal Processing. 1977. Vol. 2. 90 p.
- [2] Родес У. Т., Джиллфойл П. С. // ТИИЭР. 1984. Т. 72. № 7. 80 с.
- [3] Guilfoyle P. // Opt. Eng. 1984. Vol. 23. P. 20—25.
- [4] Psaltis D., Casasent D. // Proc. SPIE. 1980. Vol. 98. P. 232.
- [5] Li Y., Eichmann G., Alfaro R. R. // Opt. commun. 1987. Vol. 64. N 2. P. 99.
- [6] Беловолов М. И., Дианов Е. М., Гурьянов А. Н. // Электросвязь. 1987. № 11. С. 54.
- [7] Seki M., Koboashi K., Odagizi Y. // Electronics Letters. 1982. Vol. 18. N 6. P. 35—37.
- [8] Fatehi M. T., Wastlundt K. C. // Appl. Opt. 1981. Vol. 20. N 13. P. 2250.
- [9] Всеводкин Г. Г., Дианов Е. М., Кузнецов А. А., Недеев С. М. // Письма в ЖТФ. 1986. Т. 22. Вып. 22. С. 1373—1377.

Институт общей физики АН СССР
Москва

Поступило в Редакцию
14 марта 1988 г.

02; 12

Журнал технической физики, т. 59, в. 5, 1989

РАССЕЯНИЕ БЫСТРЫХ ОТРИЦАТЕЛЬНЫХ ИОНОВ ВОДОРОДА ПРИ СТОЛКНОВЕНИИ ИХ С АТОМАМИ Не И МОЛЕКУЛАМИ Н₂

Р. Н. Ильин, В. И. Сахаров, И. Т. Серенков

В инжекторах термоядерных реакторов предполагается использование пучков быстрых ($E > 100$ кэВ) атомов водорода, полученных путем нейтрализации ускоренных отрицательных ионов при столкновении последних с атомами и молекулами. Для выбора параметров инжектора необходима информация о необходимости пучка, в частности об ее изменениях в процессе транспортировки и нейтрализации, т. е. об упругом и неупругом рассеянии ионов Н⁻. Рассеяние при нейтрализации быстрых ($E=50—150$ кэВ) ионов Н⁻ исследовалось экспериментально в работе [1], где изучались зависимости угловых характеристик пучков нейтральных частиц от толщины мишени, но не были получены такие характеристики элементарных процессов, как дифференциальные сечения и не рассматривалось упругое рассеяние. В работах [2—4] приведены результаты расчетов дифференциальных сечений нейтрализации и упругого рассеяния быстрых ионов Н⁻ на различных мишениях. Интересной особенностью результатов расчетов упругого рассеяния следует считать наличие минимума на угловых зависимостях дифференциальных сечений, связанного с особенностями структуры иона Н⁻.

Задачей настоящей работы является измерение дифференциальных по углу сечений нейтрализации и упругого рассеяния быстрых ионов Н⁻ при столкновении их с атомами и молекулами с целью получения более детальной, чем в работе [1], информации об элементарных процессах и проведения сопоставлений с теорией, в частности проверки наличия особенностей в упругом рассеянии.

В качестве мишней были выбраны молекулярный водород, являющийся основным компонентом остаточного газа в инжекторах, и гелий. Энергии столкновений составляли 100 и 200 кэВ. Диапазон углов рассеяния 0—10⁻³ рад.

Методика эксперимента

Первичный пучок ионов Н⁻, сформированный коллиматором, направлялся в камеру столкновений. Выходящий из камеры пучок рассеянных частиц проходил пролетную часть и попадал на неподвижный детектор, представляющий собой шевронную сборку из двух 60-миллиметровых МКП. Коллиматор состоял из двух вертикальных щелей шириной 10 мкм